

研究論文

京畿道 始興郡 蘇來面 뱡내하천 流域의  
地下水 汚染에 關한 研究

“A study of the pollution of ground water in the basin of the river  
Baem Nae Chun, Sorae-Myun, Shihoong-goon, Kyonggi-Do, Korea”

金 肾 宗\*  
Kim, Yoon Jung  
鄭 凤 日\*\*  
Jeong, Bong Il

**Abstract**

The progressive contamination of water resulted from man's activity and the use of fertilizers is not restricted only to surface water, but also the shallow groundwater is affected. This type of groundwater contamination is mainly restricted to areas composed of permeable, nonconsolidated sediments forming a shallow aquifer. The chloride and the sulfate resulted from man's activity and the use of fertilizers were measured to study the variations of the groundwater contamination.

In general, (1) When water level rises, the rate of groundwater contamination becomes less and when water level declines, the rate of contamination is increased. (2) The highly contaminated season is the early-summer and the less contaminated season is the winter or after rainy season. (3) The groundwater in weathering zone without covering layer is more contaminated than that in alluvium deposits with covering layer. (4) The degree of contamination of wells is increased with the increase of well depth and lowing the water table, because of increasing contaminated water from enlargement of the area of influence of the well.

I. 序 論

多樣해진 人間活動에 의해 水資源은 점진적으로 汚染되고 있다. 그 汚染은 地表水에만 局限되지 않고 地下水까지 影響을 받는다.

本論文은 地下水의 汚染狀態를 一定한 期間에 걸쳐서 측정하여 그 變化量이 自然的인 條件 및 人爲的인 條件들과 어떤 相關係係를 갖는가를 밝히는데에 그 目的이 있다.

本調査研究 地域은 경기도 시흥군 소사면 一帶의 뱡내하천이 흐르고 있는 小盆地이며, 아직 固結되지 않은 冲積層 및 風化帶內의 얕은 곳에 存在하는 地下水를 研究對象으로 했다.

地下水의 汚染은 局部的인 汚染과 廣域的인 汚染으

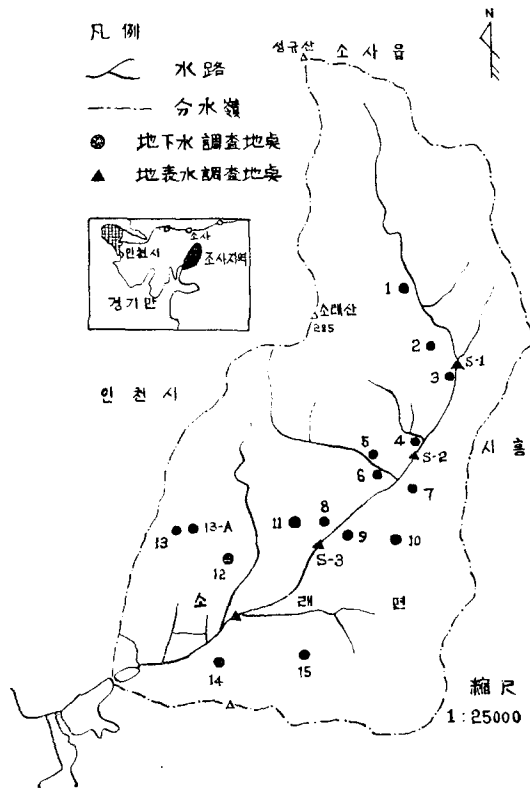
로 分類할 수 있다.

局部的인 汚染의 原因에는 폐물堆積物 家庭이나 工場폐수의 침투, 부폐된 河川水의 침투등이 있고, 廣域的인 汚染의 原因에는 大氣나 降雨로부터의 汚染物의 침투, 비료의 使用 등이 있다.

本論文에서는 폐물 및 폐수의 침투로 인한 局部的인 汚染 때문에 發生하는 Cl(Chloride)와 비료의 使用으로 인한 廣域的인 汚染때문에 發生하는 SO<sub>4</sub>(Sulfate)를 백하여 汚染狀態의 變化量을 측정하였다. 주기적인 觀察을 위하여 16개의 井戶를 選定하였으며, 1972년 5月부터 1973년 3月까지 月平均 二回씩 野外調查를 하여 각 井戶의 地下水位變動을 記錄하고 地下水를 채취하여 分析하였다.

時間은 井戶의 利用이 가장 적은 오전 11時~오후 3時 사이를 택하고, 각 井戶에 對한 地下水位의 記錄과 地下水의 채취는 人爲的인 揭水作業으로 인한 影響을最小化하기 위하여 每回마다 거의 一定한 時刻에 實施

正會員·서울大學校大學院 \*  
本學會理事·서울大學校大學院指導教授 \*\*



Map. 1. 調査地域의 流域圖와 調査地點의 位置

하였다.

二回에 걸쳐 地下水의 Hydrochemical facies를 밝히기 위해서 주요 陽이온( $\text{Ca}^{++}$ ,  $\text{Mg}^{++}$ ,  $\text{Na}^+$ ,  $\text{K}^+$ )과 陰이온( $\text{Cl}^-$ ,  $\text{SO}_4^{--}$ ,  $\text{HCO}_3^-$ ,  $\text{CO}_3^{--}$ )을 分析하였으며, 汚染狀態의 變化量을 측정하기 為해서 1~3回씩 地下水를 채취하여  $\text{Cl}^-$ 와  $\text{SO}_4^{--}$ 를 檢出하였다.

分析方法은 陽이온은 AA 및 Spectrograph方法, 陰이온은 비색방법으로 측정하였으며, 地質礦物研究所의施設을 利用했다.

降雨量은 本地域에는 측후소가 없기 때문에 正確한 資料는 求할 수가 없었다. 그러나 바로 서울과 인접한 地域이기 때문에 서울의 降雨量과 거의一致할 것이라는 중앙관상대의 捷유에 따라 서울地域의 降雨量을 그대로 適用키로 했다.

本調査研究期間동안 많은 助言과 指導를 해주신 서울大學校 大學院 鄭鳳日 教授님께 感謝를 드리며, 많은 참고자료와 毅의를 보아주신 地質礦物研究所 地質課 權英日씨와 水質分析을 위하여 많은 毅의를 보아주신 地化學課 은준철씨, 이원태씨 및 分析課 박승립씨, 신장준씨께 謝意를 表한다.

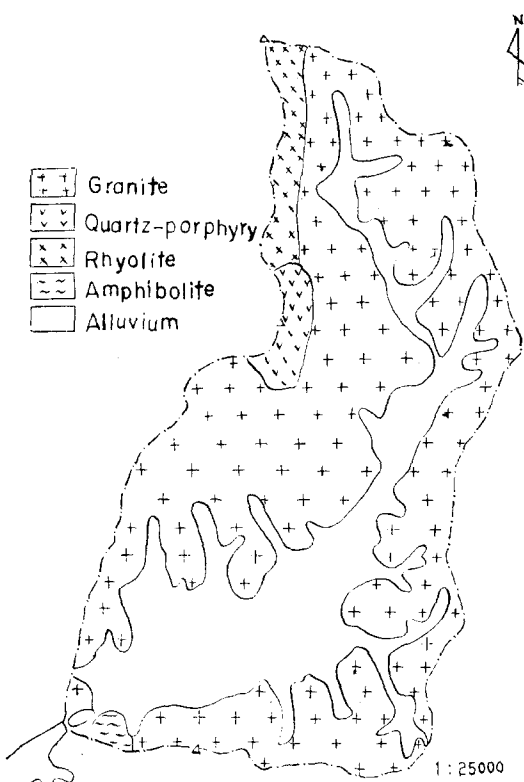
## II. 地質 地形

### II-A) 地 質

本地域의 地質은 中生代 쥐라기의 화강암과 그 외에 석영반암(Quartz-Porphyry), 유문암, Amphibolite로 形成되어 있으나 화강암이 本地域의 大部分을 차지하고 있다.

화강암은 風化에 弱하여 낮은 丘陵을 이루고 있으며 석영반암 및 유문암은 비교적 風化에 强하여 北西쪽의 소래산 및 성규산의 높은 高地帶를 形成하고 있다. Amphibolite는 뱃내하친 河口에 少量 分布되어 있다. 화강암은 아주 粗粒質이며 석영, 정장석, 사장석, 미사장석, 각섬석이 主成分을 이루고 흑운모가 극히 少量 含有되어 있다. 특히 석영의 含有量은 아주 많은 편이다.

석영을 많이 含有한 화강암은 本地域의 風化帶가 비교적 透水性이 良好한 帶水層이 되게 했으며 또한 地下水의 化學成分에 많은 영향을 주고 있다.



Map. 2. 蘇來面 一帶의 地質圖

## II-B) 地形

本地域은 약  $11.5\text{km}^2$ 의面積을 갖는 小規模 盆地로서 全體의 약 2/3가 結晶質岩 및 風化帶이며 나머지 1/3은 沖積層으로 되어 있다.

南底北高의 山系와 微弱한 發達의 樹支狀 水系를 보이는 老年期地形에 해당되며 分水嶺을 이루는 山의 形態는 西쪽의 285m의 蘇來山과 北쪽의 성규산(200m)을 제외하고는 대부분이 100m 미만의 낮은 丘陵으로 되어 있다.

성규산에서 根源을 이루어 南流하는 뱃내하천은 下대야리에서 南西쪽으로 方向을 바꾸어 西海로 流入된다.

本地域은 盆地가 좌고, 支流의 發達도 미약하고 上流쪽으로 頂點을 갖는 삼각형의 形태를 취하고, 盆地의 方向이 南쪽을 向하고 있어, 太陽熱의 영향으로 Evaporation과 Transpiration에 의한水分의 損失이 크기 때문에 河川의 水量은 아주 적은 편이며, 较은 降雨量에도 河川은 지속적인 流量를 供給하지 못한다. 支流의 대부분은 갈수기에는 거의 干涸する다.

## III. 觀察井戶의 說明

계속적인 觀察을 為해서 代表的인 井戶 16개를 選定했다. 이들 井戶는 立地條件에 따라 風化帶와 沖積層,

Table 1.

觀察井戶의 記載

Well No.	所 在 地	立地條件	用水別區分	口 径 (cm)	深 度 (m)	最大水位	最底水位	最大水位變動量 (m)
1	소래면 상대야리	풍화대	1 家具用	76	4.35	1.69	3.66	1.97
2	" 하대야리	"	共同우물	72	2.73	0.42	2.43	2.01
3	" 하대야리	충적층(近接층)	揚水用	89	3.41	0.22	0.97	0.75
4	" 신천리	충적층( " )	2 家口用	73	3.00	1.39	1.86	0.47
5	" 신천리 299-3	풍화대	1家具用음식점	78	3.11	1.56	2.64	1.08
6	" 신천리	충적층	1 家具用	70	2.51	0	0	0
7	" 오복동 36	"	1 家具用	60	2.38	0.77	2.00	1.23
8	" 신천2리 274	풍화대	1家具用우물	73	2.96	0.71	1.74	1.03
9	" " 입구	충적층	1 家具用	90	2.07	1.14	1.57	0.43
10	" 신천2리 42	풍화대	3 家具用	90	5.03	1.59	2.49	0.90
11	" 신천3리	풍화대(산록)	3 家具用	75	4.88	0.67	3.83	3.16
12	" 신천3리 653	"	3 家具用	60	3.62	1.05	3.06	2.01
13	仁川市南區 운현동 266番地	풍화대(산록)	共同우물	74	5.20	2.57	4.52	1.95
13-A	仁川市 南區 운현동	충적층	共同우물		2.00	0	0	0
14	소래면 방산리	산록(충적층)	1 家口用	90	1.20	0	0	0
15	소래면 방산리 82-1	충적층	1 家口用	80	1.74	0	0.96	0.96

用水頻度에 따라 1家口用井戶와 共同井戶, 井戶深度에 따라 3m 이상과 3m 이하의 井戶로 分類했으며, 각각 8개씩 分布되도록 選定했다.

즉 立地條件에 따라 井戶 1, 2, 5, 8, 10, 11, 12, 13은 風化帶에 位置하고, 井戶 3, 4, 6, 7, 9, 13-A, 14, 15는 沖積層에 位置하고 있다. 用水頻度에 따라서는 井戶 1, 3, 6, 7, 8, 9, 14, 15는 1家口用井戶며, 井戶 2, 4, 5, 10, 11, 12, 13, 13-A는 共同井戶에 속한다. 단 井戶 3은 揚水用이지만 1家具用井戶에 포함시켰고 井戶 5는 1家具用井戶이지만 음식점에서 사용하고 있기 때문에 共同井戶에 포함시켰다.

井戶深度에 따라서는 井戶 1, 3, 4, 5, 10, 11, 12, 13은 3m 이상, 井戶 2, 6, 7, 8, 9, 13-A, 14, 15는 3m 이하의 井戶다.

以上과 같이 井戶가 한쪽 조건에만 치우치지 않고 양쪽 조건에 均等히 分布되도록 選定했다. 각 井戶에

對한 記載는 Table 1과 같다.

## IV. 地下水의 化學性分

地下水의 化學的 性質은地下水가 이동하고 있는 岩石의 鎳物性分, 流動速度, 地下水와 岩石과의 接觸時間, 汚染程度에 따라 달라진다. 그러므로 같은 帶水層內에 들어 있는 地下水라 하더라도 場所와 時間에 따라 그 化學的 性質에 있어서 어느 정도 차이가 생겨난다.

本地域의 地下水의 化學性分은 알아보기 위해서 二回에 걸쳐 주요 陽이온( $\text{K}^+$ ,  $\text{Na}^+$ ,  $\text{Ca}^{++}$ ,  $\text{Mg}^{++}$ )과 陰이온( $\text{Cl}^-$ ,  $\text{SO}_4^{--}$ ,  $\text{HCO}_3^-$ ,  $\text{CO}_3^{--}$ )을 측정하여 (Table 3) 鹽類의 成組을 Trilinear Diagram에 표시하였다 (Fig 1).

Fig 1에 의하면 本地域의 地下水의 Hydrochemical facies는 井戶 5, 8, 9, 15는  $\text{Na}\cdot\text{Ca}$  facies,  $\text{Cl}\cdot\text{SO}_4\cdot\text{HCO}_3$

Table 3. Chemical Analysis of Ground Water

Well No.	Cations								Anions								水比傳導度 (μv/cm)	
	Ca <sup>++</sup>		Mg <sup>++</sup>		Na <sup>+</sup>		K <sup>+</sup>		Cl <sup>-</sup>		SO <sub>4</sub> <sup>2-</sup>		HCO <sub>3</sub> <sup>-</sup>		CO <sub>3</sub> <sup>2-</sup>			
	a	b	a	b	a	b	a	b	a	b	a	b	a	b	a	b		
I		4.0		3.7					32.8				19.8				30	
2		20.4		12.3					77.1				6.6				220	
3	63.6 (8.68)	3.6 (0.30)		11.3 (0.49)		7.3 (0.19)		70.9 (2.00)	5.0 (0.10)		57.3 (0.94)		23.3 (0.78)				87	
4	21.2 (1.06)	20.4 (0.53)	6.4 (1.14)	6.1 (1.14)	26.2 (0.05)		2.1 (2.40)	85.1 (2.40)	59.3 (0.52)	25.0 (1.98)	—	121.0 (1.97)	16.5 (1.97)	59.0 (1.97)			160	
5	48.5 (2.42)	20.4 (1.13)	13.8 (3.52)	8.6 (0.45)	81.0 (0.45)		17.4 (4.72)	167.3 (4.72)	85.9 (0.47)	22.5 (1.05)	—	64.2 (1.05)	23.1 (1.05)	31.7 (1.06)			350	
6		10.2		12.3					39.8				23.1				220	
7	12.1 (0.60)	7.1 (0.30)	3.6 (0.64)	6.8 (0.64)	14.8 (0.10)		4.1 (0.80)	28.3 (0.80)	20.3 (0.31)	15.0 (0.31)	—	38.2 (0.63)	3.3 (0.43)	13.0 (0.43)			110	
8	12.6 (0.63)	10.2 (0.30)	3.6 (0.30)	7.4 (1.37)	31.5 (0.11)		4.4 (2.00)	70.9 (2.00)	32.8 (0.05)	2.5 (0.94)	—	57.3 (0.94)	16.5 (0.78)	23.3 (0.78)			130	
9	9.1 (0.45)	16.3	Tr	13.6 (0.93)	23.7 (0.93)		3.9 (0.10)	85.0 (2.40)	50.5 (0.26)	12.5 (0.26)	—	63.6 (1.04)	19.8 (1.03)	31.0 (1.03)			125	
10	24.2 (1.21)	22.4 (0.22)	2.7 (0.66)	7.4 (0.66)	15.2 (0.10)		4.0 (2.00)	70.9 (2.00)	50.5 (0.16)	7.5 (0.83)	—	50.9 (0.83)	24.7 (0.83)	25.0 (0.83)			142	
11	73.4		19.8						201.2				13.2				750	
12	39.4 (1.97)	57.1 (1.66)	20.2 (1.66)	29.7 (2.46)	56.5 (0.38)		15.0 (4.40)	155.9 (4.40)	192.3 (0.21)	10.0 (0.21)	—	50.9 (0.83)	16.5 (0.83)	25.0 (0.83)			680	
13	25.8 (1.29)	29.6 (0.90)	11.0 (0.90)	46.4 (1.74)	40.0 (0.09)		3.4 (2.00)	70.9 (2.00)	121.4 (0.21)	10.0 (0.21)	—	63.6 (1.04)	3.3 (1.03)	31.0 (1.03)			300	
13-A	71.4		11.1						183.5				29.7				450	
14		4.0		3.7					32.8				9.9				33	
15	6.0 (0.30)	2.0 (0.15)	1.8 (0.43)	8.6 (0.43)	9.8 (0.04)		1.4 (1.40)	49.6 (1.40)	32.8	Tr	—	38.2 (0.63)	6.6 (0.43)	13.0 (0.43)			33	
S-1	12.1 (0.60)		2.7 (0.22)		12.0 (0.52)		1.9 (0.05)	34.0 (0.96)		10.0 (0.21)	—	93.6 (1.04)		31.0 (1.03)			100	
S-2	10.6 (0.53)		3.6 (0.30)		12.6 (0.55)		1.7 (0.05)	42.5 (1.20)		7.0 (0.15)	—	63.6 (1.04)		31.0 (1.03)				
S-3	12.1 (0.60)		4.6 (0.38)		15.4 (0.67)		2.6 (0.07)	42.5 (1.20)		10.0 (0.21)	—	63.6 (1.04)		31.0 (1.03)			190	
S-4	12.1 (0.60)		3.2 (0.26)		15.2 (0.66)		2.7 (0.07)	42.5 (1.20)		3.8 (0.08)	—	76.4 (1.25)		37.0 (1.23)				

(S는 河川水임)

( ) 안은 emp임 a : 1972. 7. 17 分析

b : 1973. 3. 10 "

facies이며, 井戶 3, 7, 10, 12는 Ca-Na facies, Cl-SO<sub>4</sub>-HCO<sub>3</sub> facies이고, 井戶 4 및 河川水는 Ca-Na facies, HCO<sub>3</sub>-Cl-SO<sub>4</sub> facies이다.

陽이온 및 陰이온 가운데 우세한 性分만을 선택해서 命名해 보면 Table 2와 같다.

Table 2. Hydrochemical facies

Well No	Hydrochemical facies
5, 8, 9, 15	Sodium, Chloride
3, 7, 10, 12, 13	Calcium, Chloride
4, 河川水	Calcium, Bicarbonate

陰이온만을 고려해 볼때 井戶 4만을 제외한 모든 井戶는 Chloride type, 河川水는 Bicarbonate type를 나타내고 있다. 井戶 4는 透水성이 우수한 바로 河川부

근에 위치하고 있기 때문에 河川水의 영향을 받아 河川水와 거의 같은 化學性分을 나타내는 것으로 보인다

本地域의 地下水는 다음과 같은 두가지 化學性分上의 觀點에 의해서 汚染되어 있다는 것을 알 수 있다.

첫째, 地下水의 化學性分은 一次의으로 造岩礦物의 溶解로부터 起因되며, 二次의으로는 地下水를 供給하는 河川이나 供給地域(Recharge area)의 地表水의 性質이 地下水의 性分에 큰 영향을 미치게 된다. 本地域의 河川은 水量이 극히 적고 溫水期에는 거의 매달 라 벼리며 冲積層은 不透水性인 점토분의 논으로 덮여 있기 때문에 河川과 冲積層은 地下水의重要な 供給源이 되지 못하고 있다. 대신 地下水 供給의 대부분은 아직 耕作되지 않고 있는 風化帶로의 降水의 침투라고 볼 수 있다. 그러므로 冲積層內에 賦存하는 地下水는

風化帶로부터 移動해 온 것이다. 따라서 沖積層內의 地下水는 移動經路(Travel path)가 길고 溶解性物質의 接觸時間이 많아 溶存性質이 風化帶의 地下水보다 더 많이 含有되어 있어야 한다.

그러나 本地域의 地下水는 風化帶가 沖積層보다 더 많은 溶存物質을 含有하고 있으며(Fig. 6. 참조) 水比傳導度도 훨씬 높은 값을 나타내고 있다. 이것은 風化帶의 地下水가 매우 汚染되어 있다는 것을 意味한다.

둘째, William Back(196)에 의하면 대부분의 地域에 있어서 Hydrochemical facies의 垂直的인 分布는 地下水의 循環이 빠른 上部는  $\text{HCO}_3$  type, 中部는  $\text{SO}_4$  type, 地下水의 循環이 거의 일어나지 않는 下부는  $\text{Cl-Na}$  type가 우세하다고 했다. 따라서 얇은 推積物(Shallow sediments)內의 地下水 특히 花崗岩地帶의 地下水는  $\text{HCO}_3$  type가 우세해야 한다.

그러나, 本地域에 있어서는 河川水는  $\text{HCO}_3$  type를 보여 주지만 地下水는 대부분이  $\text{Cl}$ -type를 나타내고 있다. 즉 Table 4에 나타나는 바와 같이 10개의 井戶에서 채취한 地下水를 分析한 結果, 險이온은 8개의 井戶에서  $\text{Cl}$  농도가 가장 높았고 陽이온도 8개의 井戶에서  $\text{Na}$  농도가 가장 높았다. 井戶 4와 10을 除外하고는  $\text{Cl}$  농도가 높은 井戶가 또한  $\text{Na}$  농도도 높게 나타났다.

岩石風化產物인  $\text{Ca}, \text{Mg}, \text{HCO}_3$  보다  $\text{Na}$ 와  $\text{Cl}$ 의 농도가 큰 이유는 海水의 침입(Sea-intrusion)이 없는 곳에서도 人間의 活動에 의해서 물에 溶解하기 쉬운  $\text{NaClO}_4$  帶水層으로 침투해 들어가 地下水의 주요 鎌物性分을 이루고 있기 때문이다. 즉 地下水가 汚染되어 있기 때문이다.

## V. 地下水의 汚染狀態

### V-A) 降雨量에 따른 地下水位變動과 汚染狀態

#### V-A-1) 降雨量에 따른 地下水位變動

本調査期間동안 내린 降雨量은 약 1,656mm였다. 降雨量의 大部分은 72年 8月에 集中的으로 내렸으며 특히 8月 18일부터 19일 사이에는 450mm의 기록적인 降雨가 내려 많은 피해를 주기도 했다. 調査期間 동안 내린 月別 降雨量과 蒸發量은 Table 4와 같다.

本地域의 調査期間 동안의 降雨量에 따른一般的의

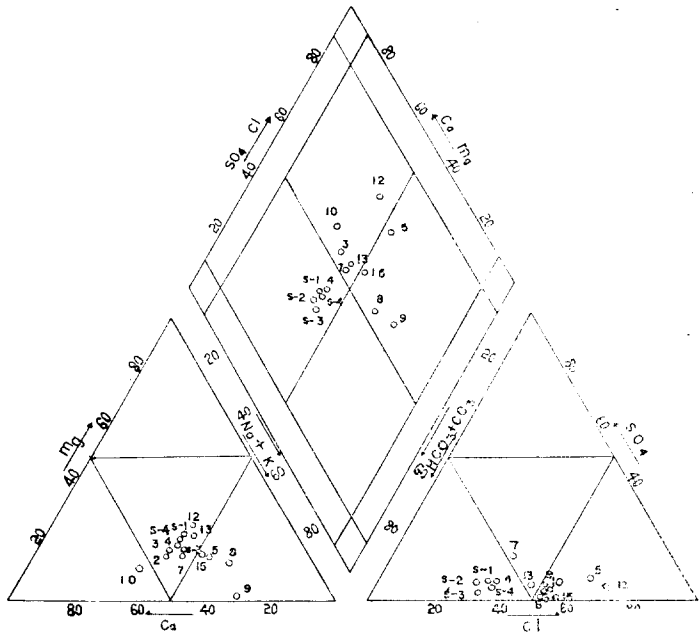


Table 4. 月別 降雨量과 蒸發量

月	72	5	6	7	8	9	10	11	12	73	1	2	3	合計
降雨量(mm)		85.3	28.0	230.8	881.8	133.6	82.6	(51.9)	(1.5)	(10.2)	(0.5)	13.7	1,656.5	
蒸發量		146.3	172.9	135.9	106.3	103.7	87.6	18.7	40.3	37.5	56.4	94.4		

[ ( ) 안은 積雪量임 ]

Table 5. Cl 농도의 변화 (PPm)

Table 6.  $\text{SO}_4$  농도의 변화 (PPm)

던 끝에 내렸던 降雨로 인한 水位上昇의 境遇를 제외하고서는 8月의 450mm까지 내린 降雨에 依해서 조차도 地下水位는 별로 變動이 없었다.

#### V-A-2) 地下水位變動에 따른 汚染狀態

地下水의 汚染狀態의 變化量을 측정하기 위해서 72年 6月부터 73年 3月까지 月平均 1~3回씩 Cl과 SO<sub>4</sub>의 농도를 측정하였다(Table 5, 6). 또한 水位變動에 따른 汚染狀態의 變化量을 측정하기 위해서 風化帶을 井戶 12와 13, 冲積層의 井戶 4와 9의 代表的인 井戶 4個를 選定하여 降雨量에 따른 水位變動과 Cl과 SO<sub>4</sub>量의 變化狀態를 Fig 2에 표시하였다.

Fig 2에 의하면 風化帶에 있어서는 地下水位變動이 降雨量을 잘反映해 주고 있는 井戶가 水位變動에 따른 汚染狀態의 變化도 잘反映해 주고 있다. 그러나 冲積層에 위치하고 있는 井戶의 汚染狀態의 變化는 地下水位變動과는 거의 無關하며(冲積層은 地下水位變動이 거의 없기 때문) 降雨量만을 잘反映해 주고 있다.

그리고 두레박 사용 및 井戶部近으로부터의 폐수의 침투로 인한 局部의 汚染에 의해서 發生하는 Cl가 비료의 使用으로 인한 廣域의 汚染에 의해서 發生하는 SO<sub>4</sub>보다 그 變化狀態가 다소 불규칙하기 때문에 Cl보다는 SO<sub>4</sub>가 地下水位變動에 對해서 더 민감한 反應을 보여주고 있다.

Fig 2-C에 依해 Cl 농도의 變化를 살펴보면 井戶 4와 12는 降雨量 또는 水位變動에 따른 Cl 농도의 變化를 잘反映해 주고 있다. 即 8月 18~19日 이틀 동안 最大의 降雨가 내린 후 地下水位가 가장 높이 上昇했을 때 Cl 농도의 最小值를 보여 준다. 그 후로 降雨量의 減少에 따른 地下水位下降에 따라 Cl 농도는 增加하고 있다.

井戶 9와 13은 약간 불규칙한 變化를 보여 주고 있다. 井戶 9는 침투층으로 덮여있는 논 가운데 위치하고 있기 때문에 冲積層으로의 降雨의 직접적인 침투는 어렵다. 따라서 風化帶로 침투한 降雨가 井戶 9까지 도달하는데에 많은 時間을 要하기 때문에 降雨가 내린 후 상당한 時日이 지난 후에야 농도의 최소치가 나타나는 것으로 생각된다.

井戶 13은 降雨後에도 降雨前보다 높은 値을 보여주는데 이것은 分析上的 잘못이나 人為的인 要因에 그 原因이 있지 않나 추측된다.

Fig 2-D에 의해 水位變動에 따른 SO<sub>4</sub>量의 變化를 살펴보면 다음과 같다.(단, 비료의 使用이 없는 겨울은 除外한다)

各 井戶의 SO<sub>4</sub>농도의 最小值는 Cl와 마찬가지로 8月의 暴雨가 내린 후에 나타난다. 그러나 暴雨前는 井戶 12와 13보다 SO<sub>4</sub>量이 많았던 井戶 4와 9에서 暴雨後에는 SO<sub>4</sub>를 거의 檢出할 수 없었고, 井戶 12와 13은 절반가량의 減少를 보여주고 있다. 이것은 冲積層에 위치하고 있는 井戶 4와 9는 Dilution된 地下水가 四方에서 移動해 와서 混合(Mix) 현상이 일어났기 때문이 아닌가 생각된다.

一般的으로 地下水位가 上昇하면 降雨에 의한 地下水의 Dilution이 일어나기 때문에 汚染程度(Cl과 SO<sub>4</sub>量)는 減少하고, 地下水位가 下降하면 各 井戶의 영향권이擴大되어 井戶로 流入되는 汚染物質의 量이 增加하기 때문에 汚染程度는 增加한다.

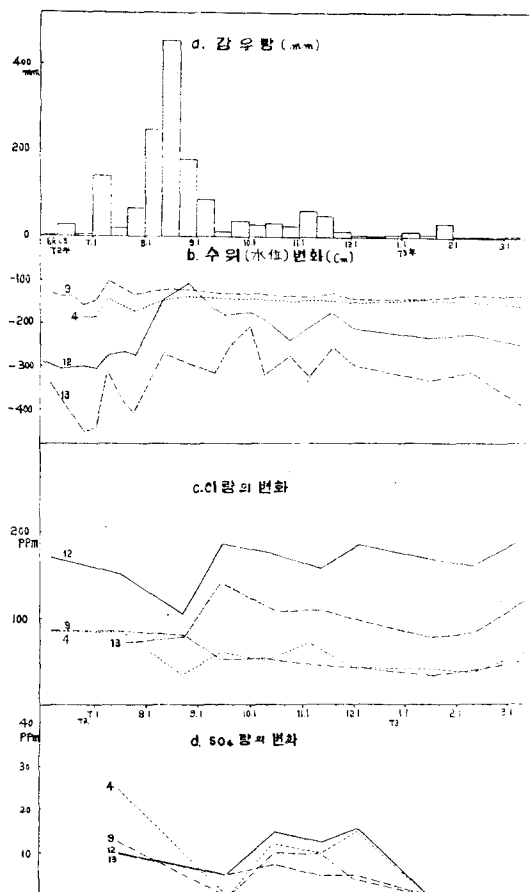


Fig. 2. 降雨量에 따른 水位變動과 Cl, SO<sub>4</sub>量의 變化

#### V-B) 季節에 따른 汚染狀態

季節에 따른 各 井戶의 汚染狀態를 볼 때, 冲積層은

어느 정도의 규칙성을 보여주지만 風化帶는 少少불규칙하다. 이것은 村落이 發達하고 있는 風化帶의 井戶는 人間活動에 의해 局部的으로 汚染되기 때문에 규칙성이 없는 것으로 생각된다. 여기서는 어느 정도 규칙성을 보여주는 沖積層의 井戶만을 택하여 論하기로 한다(Fig 2 참조).

井戶 4에 있어서 Cl 농도의 가장 높은 數値는 장마철로 들어서기 前의 85.1ppm이 있고, 가장 낮은 數値는 2月의 36.3ppm이었다. SO<sub>4</sub> 농도도 Cl과 마찬가지로 7月에 최대치를 보여주고(25.0ppm) 장마 후 및 겨울에는 거의 檢出할 수 없었다.

降雨量이 아주 적은 6月 및 7月은 蒸發量이 降雨量보다 많은데다 또한 비가 地表에서 바로 蒸發하기 때문에 土壤鹽度(Soil salinity)가 增加하고 이 土壤鹽度는 地下水의 鹽度를 增加시키기 때문에 가장 높은 數値를 보여 준다. 暴雨가 내리고 난 다음에는 Cl 및 SO<sub>4</sub> 농도는 매우 減少하는데, 이것은 降雨의 침투로 인한 Dilution이 일어나기 때문이다.

9月~11月의 가을로 접어들면 降雨量에 따라 영향을 받기는 하지만 비료의 使用이 많아지고 蒸發量이 降雨量보다 점점 增加하기 始作하여 Cl과 SO<sub>4</sub> 농도는 점차로 增加하나 겨울로 닥아감에 따라 다시 減少하기 始作한다.

1月~2月의 겨울에는 表土의 凍結로 因하여 汚染된 물의 침투가 不可能하기 때문에 大部分의 井戶에서 Cl量은 最少値를 보여준다. 特히 SO<sub>4</sub>는 10月에 大部分의 井戶가 15ppm까지의 농도를 보여 주었는데 비료의 使用이 없는 겨울에는 거의 檢出할 수 없었다. 이 현상은 다음해 봄에 비료를 사용하기 시작할 때까지 계속될 것이다.

3月에 들어서면 解冰과 더불어 表土에 축적되었던 汚染物質이 서서히 地下水面까지 내려가 다시 Cl 농도가 增加하기 始作한다. 이 增加현상은 降雨量에 의해 약간의 변화를 받겠지만 장마철전까지 계속될 것이다.

一般的으로 四季節을 通해서 볼 때 汚染의 程度가 가장 높은 時期는 장마철이 끝난 바로후 및 겨울(1~2月)이었다.

### V-C) 帶水層에 따른 汚染狀態

本 地域의 帶水層은 沖積層과 風化帶로 區分된다. Fig 3는 沖積層과 風化帶에 位置하고 있는 각 井戶의 Cl과 SO<sub>4</sub> 농도를 나타낸 것이다. Cl은 각 井戶의 平均值을 구하여 나타냈으며 SO<sub>4</sub>는 最大值만을 택하여 나타냈다. 風化帶와 沖積層의 汚染狀態를 살펴보면 다음과 같다.

〈風化帶〉

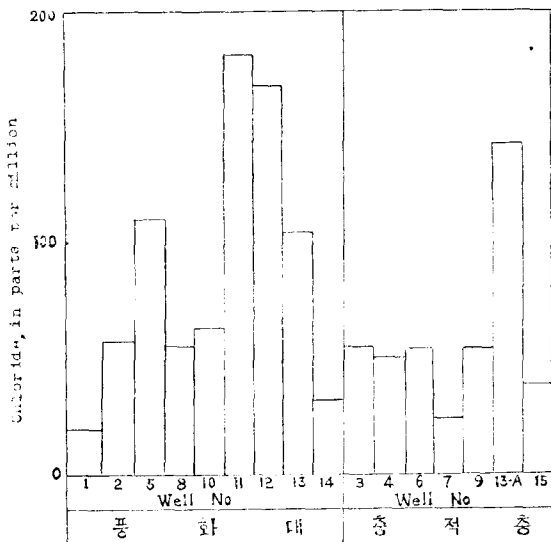


Fig. 3. a. 帶水層에 따른 汚染狀態 (Cl)

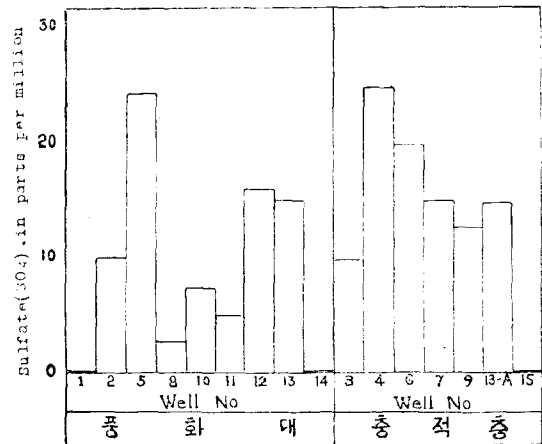


Fig. 3. b. 帶水層에 따른 汚染狀態 (SO<sub>4</sub>)

各 井戶에 따른 Cl 농도는 18.8ppm으로부터 182.5 ppm까지의 分布를 보이며 風化帶 전체의 平均值은 88.2 ppm이다. 각 井戶에 따라 이와같이 Cl 농도의 차이가 생겨나는 것은 地下水의 汚染정도가 用水頻度 및 井戶의 位置에 左右되기 때문인 것으로 解析된다.

SO<sub>4</sub> 농도는 最高值만을 살펴볼 때 0~24ppm의 分布를 보이며 風化帶 전체 平均值은 8.9ppm이다. Cl 농도에 비하면 아주 낮다.

水比傳導度는 30~750μmhos의 分布를 보이며 平均值은 293μmhos이다.

### 어느 정도의 규칙성을 보여 주지만 風化帶는多少 불 <冲積層>

各井戸의 Cl 농도는 24.3ppm으로부터 143.8ppm까지의 分布를 보인다. 井戸 13-A 1143.8ppm를 除外하면 거의 均一한 농도를 보여주고 있다. 井戸 13-A는 바로 風化帶 옆의 冲積層에 位置하고 있으며 洗滌用으로 함부로 使用하기 때문에 汚染정도가 높은 것으로 생각된다. 冲積層의 Cl농도 平均值는 46.4ppm으로서 風化帶보다 낮다. 冲積層은 風化帶로부터 移動해 온地下水의 混合에 依한 Dilution 때문에 Cl 농도가 減少되고 또한 대부분의 井戸가 거의 비슷한 농도를 갖게 되는 것으로 解析된다.

$\text{SO}_4$  농도는 0~25ppm까지의 分布를 보이며 全體平均值은 약 14ppm으로서 風化帶보다 높다. 水比傳導度는 33~450 $\mu\text{mhos}$ 의 分布를 보이며 平均值는 169 $\mu\text{mhos}$ 이다.

以上과 같이 冲積層과 風化帶의 汚染 정도를 살펴볼 때, Cl는 風化帶가 冲積層보다 2배에 가까운 농도를 보여주고  $\text{SO}_4$ 는 冲積이 風化帶보다 汚染의 정도가若干 높다.

앞에서 記述한 바와 같이 冲積層은 不透水層인 점토질의 논으로 덮여 있기 때문에 汚染된 물의 침투가 어렵고 風化帶는 不透水層의 被覆層(Covering layer)이 없어 汚染된 물의 침투가 빠르기 때문에,一般的으로 風化帶가 冲積層보다 汚染의 정도가 더 높다.

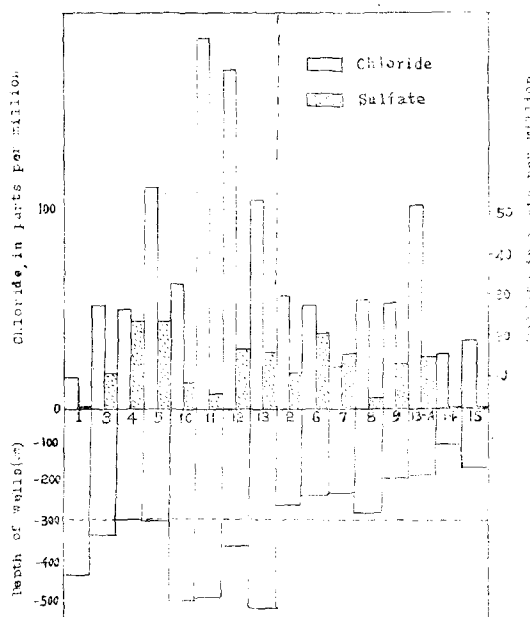


Fig. 4. 井戸深度에 따른 汚染狀態

### V-D) 井戸深度에 따른 汚染狀態

Fig 4는 井戸의 平均深度 3m를 경계로하여 3m 이상의 井戸와 3m 이하의 井戸로 나누어 Cl과  $\text{SO}_4$  농도를 나타낸 것이다. 平均值을 비교해 볼 때, Cl는 depth 3m 이상의 井戸가 107ppm, 이하가 58ppm,  $\text{SO}_4$ 는 depth 3m 이상의 井戸가 14.6ppm, 이하가 12.5ppm이다. Cl는 depth가 깊은 井戸가 얕은 井戸보다 約 2배 가량의 농도를 보여주고 있으나  $\text{SO}_4$ 는若干 높은 편이다. 即, Cl는 井戸深度에 따라 많은 影響을 받지만  $\text{SO}_4$ 는 depth에는 거의 影響을 받지 않는 것으로 나타난다.

이 地域에 있어 보통 depth가 깊은 井戸는地下水位가

Table 7. 深度에 따른 最底水位와 汚染狀態

Well No	1	3	4	5	10	11	12	13
井戸深度(m)	4.35	3.41	3.00	3.11	5.03	4.88	3.62	5.20
최저地下水位(m)	3.65	0.97	1.86	2.64	2.49	3.83	3.06	5.42
Cl (ppm)	18.8	54	52.3	110.6	62.7	182.5	168.2	104.4
$\text{SO}_4$ (ppm)	Tr	10.0	25.0	24.0	7.5	5.0	16.0	15.0
Well No	2	6	7	8	9	13-A	14	15
井戸深度(m)	2.73	2.51	2.38	2.96	2.07	2.00	1.20	1.74
최저地下水位(m)	2.43	0	2.00	1.74	1.57	0	0	0.96
Cl (ppm)	57.9	54.5	24.3	57.1	55.0	143.8	31.3	38.1
$\text{SO}_4$ (ppm)	10.0	20.0	15.0	2.5	12.5	15.0	Tr	Tr

된다. 그러므로 井戸深度에 따른 汚染狀態는 結局은地下水位變化와 關聯되어 있다(Table 7 참조).

一般的으로 depth가 깊고地下水位가 낮은 井戸일수록 井戸의 影響圈이 擴大되어 井戸로 流入되는 汚染物質의 量이 많아지기 때문에 汚染정도가 높은 것으로 解析된다. 그러나 井戸depth에 따른 汚染狀態는 立地條件와 人爲的인 條件에 따른 좀더 자세한 調査와 研究를 거친 후에 結論을 내려야만 할 것 같다.

### V-E) 用水頻度에 따른 汚染狀態

各 井戸에 對한 用水頻度는 그 井戸를 利用하고 있는 家口數로 代置할 수밖에 없었다.

Fig 5 (a, b)는 Cl과  $\text{SO}_4$  농도를 1家口用 井戸와 共同井戸로 區分하여 나타낸 것이다. Cl는 平均值을 구하고,  $\text{SO}_4$ 는 最大值를 백하여 나타냈다. Cl의 汚染狀態는 平均值을 살펴 볼 때 1家口用 井戸가 약 41ppm, 共同井戸가 약 110ppm으로서 共同井戸의 汚染정도가 1家口用 井戸보다 훨씬 높은 값을 보여준다.

$\text{SO}_4$ 는 井戸에 따라 차이가 심하지만 平均值을 살펴 볼 때 1家口用 井戸가 약 7.7ppm, 共同井戸가 약 14.7ppm으로서 共同井戸의 汚染정도가 2배 가량 더 높다.

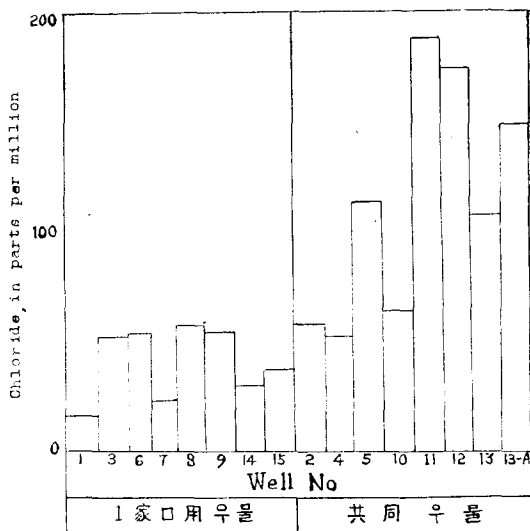


Fig. 5 a. 用水頻度에 따른 汚染狀態(Cl)

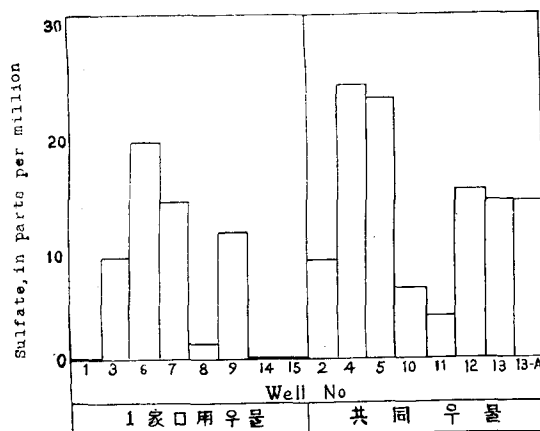


Fig. 5 b. 用水頻度에 따른 汚染狀態(SO4)

共同井戶가운데 風化帶에 위치하는 井戶가 沖積層에 위치하는 井戶보다 Cl의 汚染정도가 더 높게 나타나며 SO<sub>4</sub>는 그 반대다. 또한 1家口用井戶가운데 共同井戶보다 SO<sub>4</sub>의 汚染정도가 더 높은 것은 沖積層에 위치하는 井戶이다.

以上과 같이 살펴볼때 앞에서 記述한 바와 같이 Cl污染은 共同井戶가 1家口用井戶보다 약 1~3배의 높은 농도를 보여 주는 것으로 보아 주로 人間活動에 의해 發生되고, SO<sub>4</sub>污染은 비료의 使用때문에 發生한다는 것을 알 수 있다.

## VI. 結論

1. 本論文은 京畿道 始興郡 蘇來面 뱠내하천 유역의 얕은 帶水層에 賦存하는 지하수(Shallow ground water)의 汚染에 關해서 調査研究한 것이다.
2. 陰이온만을 고려해서 볼 때 本地域의 地下水의 Hydrochemical facies는 Chloride type이며, 河川水는 Bicarbonate type이다.
3. 本地域의 地下水는 風化帶가 沖積層보다 溶存物質을 더 많이 含有하고 있고, Chloride type를 나타내는 것으로 보아 汚染되어 있다는 것을 알 수 있다.
4. 一般的으로 地下水位가 上昇하면 Dilution 작용때문에 汚染정도는 減少하고 地下水位가 下降하면 汚染정도는 增加한다.
5. 四季節中 汚染의 정도가 가장 높은 時期는 장마철로 들어서기 前의 초여름이고, 가장 낮은 時期는 장마철이 끝난 바로 後 및 겨울이다.
6. 風化帶는 不透水層의 被覆層이 없어 污染된 물의 침투가 容易하기 때문에 沖積層보다 더 污染되어 있다
7. 井戶의 深度가 깊고 地下水位가 낮을수록 井戶의 영향권이 확대되어 井戶로 流入되는 污染物質의 量이 많아지기 때문에 污染程度는 增加한다.
8. 共同井戶는 1家口用井戶보다 1~3倍 가량 더 污染되어 있다.
9. 本地域의 地下水污染은 주로 家庭用廢水의 浸透 및 비료의 使用으로 인해서 發生하고 있으나, 아직 위험정도까지는 이르지 않고 있다. 그러나 앞으로의 漸進的인 污染을 막기 위해서는 下水道의 完全한 設備가 이루어져야 될 것 같다.

## Reference

- 1 Back, W.I. 1966, Hydrochemical Facies and Groundwater Flow Patterns in Northern Part of Atlantic Coastal Plain. Geological Survey Professional paper 498-A.
- 2 Doyel, W.W. and Dingman, R.J., 1964, Hydrogeologic Reconnaissance of the R.O.K. Geological Survey Research, Chap. D (PI49-152).
- 3 Feth, J.H. & Roverson, C.E., 1964, Sources of Mineral Constituents in Water from Granitic Rocks in Sierra Nevada, California and Nevada. Geological Survey Water-supply

- paper 1535-1.
4. Groba, E. & Hahn, J., 1972, Variations of Groundwater chemistry by Anthropogenic Factors in Northwest Germany. International Geological Congress, Section II Hydrology (Canada).
  5. Hem, J.O., 1959, Study and Interpretation of the Chemical Characteristics of Natural Water. Geological Survey Water-supply paper 1473.
  6. Hemmingsen, E.R., 1962, Water Diagenesis in Lower Cretaceous Trinity aquifers of Central Texas. Baylor University, Fall 1962, Bulletin No. 3.
  7. Kister, J.H., & Hardt, W.F., 1966, Salinity of the Groundwater In Western Pinal County Arizona, Geological Survey Water-supply paper 1819-E.
  8. Luszynski, N.J. & Swarzenski, W.V., 1966, Salt-Water Encroachment in Southeastern Queens Counties Long Island, New York. Geological Survey Water-supply paper 1613-F.
  9. Lindholm, G.F., 1970, An Appraisal of Ground-Waterfor Irrigation in the Wadena area, Central Minnesota. Geological Survey Water-supply paper 1983.
  10. Mattess, G. Hydrogeologic Criteria for the Selfpurification of Polluted Groundwater.
  11. Miller, J.P., 1961, Solutes in Small Streams Draining Single Rock Type, Sangre de Cristo Range, New Mexico. Geological Survey Water-supply paper 1535-F.
  12. Meinzer, O.E., 1923, The Occurrence of Ground-water in United States. Geological Survey Water-supply paper 489.
  13. Morgan, K.H. The Relationship between Rainfall, Geomorphic Development and the Occurrence of Groundwater in Precambrian Rocks of Western Australia.
  14. Rainwater, F.H. & Thatcher, L.L., 1960, Methods for Collection and Analysis of Water Samples. Geological Survey Water-supply paper 1454.
  15. Seaber, P.R., 1965, Variations in Chemical Character of Water in the Englishtown Formation New Jersey. Geological Survey Professional paper 498-B.
  16. Tbdd, D.K., 1959, Ground-water Hydrology. John Wiley & Sons, Inc.

일하는 국민에게는 안정 속에서 보람있는 생활을 누리게

할 수 있도록 사회보장제도를 더욱 확충해 나갈 것이다.

— 제8대 대통령 취임사에서 —

— 끈돈 모아 복지연금 행복한 노후생활  
너도 나도 복지연금 나를 위해 돌아온다 —